

7720

Taemmerup

1955

Yn_2O

Gastinger E.

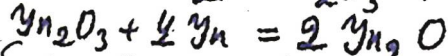
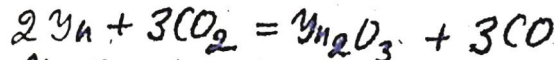
Naturwissenschaften, 1955, 42,
 $N=^{\circ}4,95$.

Палеомагнитика

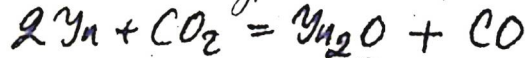
Небольшое значение имеет
изучение отложений.

x-55-18-39939.

Если юдин нагревать в атмосфере CO_2 при 600°C
то на поверхности образуется Yn_2O_3
При охлаждении продукта при этом образуется Yn_2O
но схеме:



При небольшой конц. CO_2 $p = \frac{2}{3}$ процессы
происходит по упр-чению



Оптимальные

условия - 850°C и 10 ми Hg

$\text{Ga}_2(\text{OO})$; AHs $\text{Ga}_2\text{O}, \text{In}_2\text{O}$ Bp I = 52 | 1957

Drouart Y., Honig R.E.

In_2O Bull. Soc. chim. belges

(AHs) 1957, 66 n° 5-6

411-412

S
~~Y~~, Y.

PB-X-9018

1962

In₂O

Хорошеву жена Н.А.

mp. Всес. - СССР.公社.

СССР. once. All CEEP, 1962,
item 41, 48

Ko

1962

In₂O

Мукаров С.А., Семенов Т.Н.,
 Рамбиковский Н.А.

Ж. прикл. химии, 1962, № 7,
 1454.

Изучение испарения раз-
 личных металлов и сплавов
 с помощью масс-спектро-
 метра.

X-1964-65373

(см. Ga₂O₃)

I

1963

 Ti_2O_3

Юсуповская, Р. А., Заболоцкий Т. В.
Изд. Сибирск. отд. АН СССР, № 7, сер. хим. к.,
 вкл. 2, 34

Географическое изучение Енисея и $\text{Ta-Ti}_2\text{O}_3$

(см. Ti_2O_3 , 1).

Mn_2O

1963

85

Burns R.P., De Maria G.,

Dewart J., Inghram E.G.

Непред
атомса-
тые

J. Chem. Phys., 1963, 38, 1035.

Блак-снега и низкотемпера-
турное магнитное Mn_2O_3 .

$$\Delta H_f^{\circ}(\text{Mn}_2\text{O}_3) = -216 \pm 7 \text{ ккал/моль}$$

$$\Delta S_f^{\circ}(\text{Mn}_2\text{O}) = 172 \pm 4 \text{ ккал/моль}$$

$$D_0(\text{Mn}_2\text{O}) \leq 76 \text{ ккал/моль}$$



(all. Mn_2O_3) I

In O
2

1966

13 Б405. О существовании кристаллической закиси индия. В ~~roch N. C. Christensen A. Nørlund.~~ On the existence of crystalline In_2O . «Acta chem. scand.», 1966, 20, № 7, 1996—1997 (англ.)

По методике, описанной ранее (Brauer. G. Praparative anorganische Chemie Enke. Stuttgart. 1960), предпринята попытка получения кристаллич. In_2O . Продукты р-ции исследованы рентгенографически (метод порошка, камера Глинье). Вначале различными путями получены три образца: 1) осажденную гидроокись индия подогревали при 340° в течение 60 час. Расчет рентгенограммы показал, что образец I состоял из мелкокристаллич. In_2O ; 2) осажденную гидроокись индия обрабатывали р-ром 0,1 M NaOH в термич. бомбе при 375° под давл. 230 атм в течение 40 час. Резкие линии порошкограммы образца

X: 1967.13

I принадлежали фазе In_2O_3 ; 3) образец III получен из образца II прокалкой при 1100° в течение 60 час. Анализ отражений рентгенограммы показал, что они принадлежат In_2O_3 . Затем образцы I, II и III восстанавливались водородом при $380-425^\circ$. Восстановленные образцы состояли из смеси In и In_2O_3 . Далее эти смеси подвергались сублимации при т-ре 650° и вакууме $1 \cdot 10^{-4}-1 \cdot 10^{-5}$ м.м., по рентгенограммам продуктов сублимации обнаружено, что они состояли из In или из смеси In и In_2O_3 . Отмечается, что на основании этих данных судить однозначно о существовании Zn_2O нельзя.

И. Чернов

1966

V-5293.

Do(Al₂O, Al₂O, GaO, Ga₂O, In₂O),

ΔH_{vap}(Ga), ΔH_{vap}(Al₂O₃, Ga₂O₃, In₂O₃)

Burns R.P.

J.Chem.Phys, 1966, 44, N9, 3307-19.

Systematics of the evaporation
coefficient Al₂O₃, Ga₂O₃, In₂O₃.

RX., 1967, 3B518

Be, J.M.

F

In₂O

Richard P. Evans.

1966

35

J. Chem. Phys., 44 (1966), 307-19.

D₀

Systematics of the vaporization coefficient Al₂O₃, Ga₂O₃, In₂O₃.



(c.u. Al₂O₃I)

Gag. O. Ing. O (ΔΗΦ. Δ.ε., ΔΗ) 1969

V6397

Мукаров С.С.Р., Семенов Г.Я.,
Романовский Н.Н.

ДН. № 2204. ХХХХХ, 1969, 14, №, 3-10

Лебединское изучение испарения
окрест с. Борисов и Ильин.

ЕСТЬ Ф. Н.

Риг. № 1969

136786

M, TO (9)

In_2O

1973

(P)

41090z Measurement of vapor pressure of indium over silver-indium using atomic absorption. Reply to comments. Masson, D. Bruce; Pradhan, Shrikant S. (USA). *Met. Trans.* 1973, 4(10), 2484-5 (Eng). A reply to the polemic of K. T. Jacob and C. B. Alcock (*Ibid.* 1973, 4, 2483). The presence of In_2O molecules in the vapor is of no consequence, because of the high selectivity of the at. absorption method employed. If Jacob and Alcock are aware of any mol. or at. species that might be present that absorbs strongly at 3039.36 Å (or within the spectral slit width of this wavelength) and not at 2836.92 Å, they should focus their arguments against the technique on that species. These arguments should depend on known absorption spectra, not thermodn. stability of possible species.

Nat. L. Shepard

C.A. 1974.80.N8

41105.9149

Ch, Ph, TC, MGU

γ 96559

In_2O^+

(EOK/иши)
1974

2668

Maloney Kenneth M., Lynch Denis A., Jr.

A quantum statistical investigation
of the electron impact decompositions

of Al_2O , Ga_2O and In_2O . "Int. J. Mass
Spectrom. and Ion Phys.", 1974, 14, N4,

415-434

(au. Al_2O ; III) (англ.)

022' пик

198 200

219

ВИНИТИ

In₂O

[Bq - 3098 - XV]

1975

Ганюшин Т.В.

(ΔHf)

"Х. физ. химии"

1975, 49, N 11, 2767-2771

(авт ГаэО; I)

In₂O

1977

P_f D₀^o

87: 189632t Vapor pressure and dissociation energy of indium oxide (In₂O). Valderrama-N, J.; Jacob, K. T. (Dep. Metall. Mater. Sci., Univ. Toronto, Toronto, Ont.). *Thermochim. Acta* 1977, 21(2), 215-24 (Eng). The vapor pressure of pure liq. In, and the sum of pressures of In and In₂O species over the condensed phase mixt. In + In₂O₃, contained in a silica vessel, were measured by Knudsen effusion and Langmuir free vaporization methods at 600-950°. Mass spectrometric studies reported in the literature show that In and In₂O are the important species in the vapor phase over the In + In₂O₃ mixt. The vapor pressure of In₂O corresponding to the reaction, 4In + In₂O₃ → 3In₂O deduced from the present measurements is given by the equation, $\log p = -13,150/T + 7.58 (\pm 0.02)$ atm. The apparent evapn. coeff. for the condensed phase mixt. is ~0.8. The energy for the dissociation of an In₂O mol. into atoms calcd. from the above equation is $D_0^o = 180.0 (\pm 1.0)$ kcal mol⁻¹.

C.A. 1977, 84, 1224

912.0

1977

5 Б748. Давление пара и энергия диссоциации In_2O .
Valderrama N. J., Jacob K. T. Vapor pressure
and dissociation energy of (In_2O). «Thermochim. acta»,
1977, 21, № 2, 215—224 (англ.)

В интервале т-р 1065—1275°К методом Кнудсена (МК) измерено давл. насыщ. пара Iп(тв.) (I), а в интервалах т-р 990—1215°К и 885—1027°К соотв. МК и методом Ленгмюра (МЛ) измерено давл. пара над смесью I.(тв.)+ In_2O_2 (жидк.) (II). В эксперименте использованы эффузионные камеры из SiO_2 (тв.). Получена т-риая зависимость давл. насыщ. пара Iп над I
 $\lg P \text{ (атм)} = -11900/T + 5,08 (\pm 0,02)$. При обработке эксперим. данных МК под давл. пара над I+II предполагалось, что насыщ. пар состоит в основном из молекул In_2O и Iп и давл. Iп над I+II равно давл. Iп над I. Зависимость давл. In_2O от т-ры над I+II, опре-

P: 80

д. 15.1978

№ ④1 912.0 (80)

деляемая р-цией $4 \text{Iп (тв.)} + \text{II (жидк.)} \rightarrow 3 \text{Iп}_2\text{O (газ.)}$,
имеет вид $\lg P \text{ (атм.)} = -13\ 150/T + 7,58 \pm 0,02$. Давл.
пара над I+II , полученные МЛ, меньше соотв-щих
давл., полученных МК. Разница давл. растет с увеличе-
нием т-ры. «Эффективный» коэф. испарения смеси I+II
составляет 0,8. С помощью эксперим. и лит. данных
получена зависимость ΔC_T° для р-ции $2 \text{Iп (газ.)} +$
 $+ 1/2 \text{O}_2 \text{ газ.} \rightleftharpoons \text{Iп}_2\text{O (газ.)}$ от т-ры $\Delta G^\circ = -121\ 800 +$
 $+ 36,93 T (\pm 150) \text{ кал/моль}$. По 3-му закону рассчитана
энергия диссоциации $D_0^\circ(\text{Iп}_2\text{O}) = 180,0 \pm 1 \text{ ккал/моль}$.

М. В. Коробов

In₂O₃

1979

4 Б713. О существовании In₂O_(к). (Замечание к статье T. J. Anderson и L. F. Donaghey). Dillen A. J. van Geus J. W., de Wit J. H. W. On the existence of In₂O_(c). (Comment on a paper by T. J. Anderson and L. F. Donaghey). «J. Chem. Thermodyn», 1978, 10, № 9, 895—896 (англ.)

Существует.
Опровергаются лит. данные о получении In₂O_(к) (I) при термич. разл. In₂O₃ (II). Показано, что при термич. разл. I получается I с дефектной структурой, к-рая содержит вакансии кислорода, в то время как кристаллографич. структура не изменяется, что подтверждено рентгеновскими измерениями. Возможна образование неустойчивой I на границе фаз II и металлич. индия с широкой областью нестехиометричности. Л. Г. Титов

2.10.1979, NY

In_{20})
 $\text{In}_{20+\frac{1}{2}}$ rag

Osuna 7156

1978

Srivastava R.D.
Farber et.

OHf, S^o298, P^o298

Chem. Rev. 1978, 78
no, 627-638

$\gamma_{\text{In}_2\text{O}}$

1978

Valderrama J., Jacob K.T.

P

J. Inorg. Nucl. Chem., 1978, 40(6),
993-7.



(aer. In) I

In₂O

(K_p)

1980

94: 8226q Determination of the solubility of oxygen in liquid indium by the combined method of Knudsen cell mass spectrometry and coulometric titration. Alcock, C. B.; Butler, J. (Dep. Metall. Mater. Sci., Univ. Toronto, Toronto, ON, Can. M5S 1A4). *Nippon Kinzoku Gakkaishi* 1980, 44(11), 1239-43 (Japan). The equil. const. K for the reaction $2\text{In(l)} + \text{O(X}_0\text{)} = \text{In}_2\text{O(g)}$ was detd. from 1023 to 1223 K by a combined method of Knudsen cell mass spectrometry with coulometric titrn. The evolution of O through this reaction following a coulometric titrn. to a steady state was utilized to obtain values of the const. K. The results obtained are expressed as function of temp. by the equations: $\log K = -4640/T + 8.23$ and $\Delta G^\circ = 88500 - 157.6T$ (J/mol). The combination of the value for K with the reported value for the partial pressure of $\text{In}_2\text{O(g)}$ in equil. with In(l) and $\text{In}_2\text{O}_3(\text{s})$ yields the satn. solv. of O in liq. In which is given by $\log [X_0]_{\text{sat}} = -8510/T + 4.35$ where X_0 is the concn. of O in atom fraction. The technique used also gives the possibility of detg. the ionic transport no. of the solid electrolyte which was used. The apparent ionic transport no. of Ca stabilized zirconia varied from 0.2 to 0.5 with increasing temp. under the present exptl. conditions. The fragmentation ionization coeff. of In_2O to In^+ at ionization potential of 16 V was also obtained.

P.A. 1981.94.112

I.1120

1986

Спироиднос В.Н.и

sp.

ст. М.

кн. Страна сел
северо-вост.

Ab - Ro

МР24

$\chi_c = 2,416$ $\lambda = 143;$

w_1, w_2, w_3
 $4/16 \quad 125, 766$

In_2O

1990

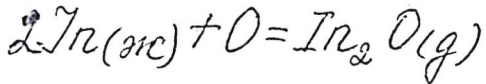
Wang Q., Fang P.H.

J. Electrochem. Soc. 1990.

(R_p)

137, N1.C. 345- 346.

(cav. In_2O_3 ; T)



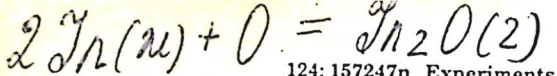
1995

Ichise Eigi.

Suijokaishi 1995, 22 (5),
269-77.

(Kp)

(c.c.r. Fe-Al_{cn.sab}; $\frac{T}{T_c}$)



1995

124: 157247n Experiments on thermodynamic study by means of Knudsen cell mass spectrometry. Ishise, Eiji (Kyoto, Japan 610-11). *Materia* 1995, 34(11), 1248-53 (Japan). A review with 16 refs. Several expts. in metallurgy are introduced as follows. Activity of Fe and Al in a Fe-Al alloy was measured by combining Fe and Al ion intensity ratio and the Gibbs-Duhem relation. From the expt., activity curves (activity vs. component ratio) and liquidus/solidus lines of the Fe-Al alloy were also obtained. Activity coeffs. of S in a Fe-S alloy were measured by utilizing ionic strength of S, S₂, and S₃. Activity of Fe, Mo, and W in Fe-Mo and Fe-W binary alloys were measured by internal std. method. Ion intensity thermal anal. were developed. Giving an instance of a Fe-Mo or Fe-W alloy, dependence of Fe ion intensity on temp., or behavior of the Fe ion intensity at the m.p. or the A₄ transformation point is discussed. Equil. const. of a reaction [2In(l) + O₂ = In₂O(g)] was detd. by using a Knudsen cell made of ZrO₂ solid electrolyte.

H. Tamura

C. A. 1996, 124, N12.

reku: Leitner J., Chuchvalec P., Sedmíkůvský D. (Prague) | 2001

In₂O)

No 10, "Organic monodentate binaphthyl
8mO, "окайде в гелевом состоянии"
YbO, Chemische Listy, 2001, 95, N1, p. 2-8
PdO₂ (результат на обзоре!)

PtO₂
RhO₂

cm. In₂O (Ik)

(G_p, 298.15K)



+7

Estimation of heat capacities of binary oxides in the solid state. Leitner, Jindrich; Chuchvalec, Pavel; Sedmidubsky, David. Dep. Solid-State Eng., Inst. Chemical Technology, Prague, Czech Rep. *Chemicke Listy* (2001), 95(1), 2-8.

Empirical contribution methods are described that can be used for estn. of heat capacities of binary oxides in the solid state. Reliability of the data obtained in equil. calcns. for oxide systems is assessed. On the basis of a comparison of estd. and exptl. data for 111 binary oxides of 67 elements, it can be stated that the method proposed by Mostafa is the most appropriate for the estn. of molar heat capacity of solid oxides at 298 K ($C_p^0(298.15)$) at present. The method is quite general and sufficiently accurate (the mean error for a set of 92 oxides is 4.27%).

However, its use for prediction of temp. dependence of $C_p^0(T)$ is problematical: its course shows a max. and a pronounced decrease in heat capacity with increasing temp. in many cases.

In calcg. thermodn. functions of solid oxides at elevated temps., the error in the estd. C_p^0 manifests itself in the entropy value; whereas, in the Gibbs energy value, where the enthalpic and entropic terms partly compensate, it virtually does not appear. Using the estn. methods, the hitherto unmeasured values of $C_p^0(298.15)$ were obtained for the oxides In₂O, NdO, SmO, YbO, PdO₂, PtO₂ and RhO₂.

Jeffrey. Okelcarh

2001

of Na₂O

C_p⁰(298/5K)

AB

134: 137282y Estimation of heat capacities of binary oxides in the solid state. Leitner, Jindrich; Chuchvalec, Pavel; Sedmidubsky, David (Dep. Solid-State Eng., Inst. Chemical Technology, Prague, Czech Rep.). *Chem. Listy* 2001, 95(1), 2-8 (Czech), Ceska Spolecnost Chemicka. Empirical contribution methods are described that can be used for estn. of heat capacities of binary oxides in the solid state. Reliability of the data obtained in equil. calcns. for oxide systems is assessed. On the basis of a comparison of estd. and exptl. data for 111 binary oxides of 67 elements, it can be stated that the method proposed by Mostafa is the most appropriate for the estn. of molar heat capacity of solid oxides at 298 K ($C_p^0(298.15)$) at present. The method is quite general and sufficiently accurate (the mean error for a set of 92 oxides is 4.27%). However, its use for prediction of temp. dependence of $C_p^0(T)$ is problematical: its course shows a max. and a pronounced decrease in heat capacity with increasing temp. in many cases. In calcg. thermodn. functions of solid oxides at elevated temps., the error in the estd. C_p^0 manifests itself in the entropy value; whereas, in the Gibbs energy value, where the enthalpic and entropic terms partly compensate, it virtually does not appear. Using the estn. methods, the hitherto unmeasured values of $C_p^0(298.15)$ were obtained for the oxides In₂O, NdO, SmO, YbO, PdO₂, PtO₂ and RhO₂.

C.A. 2001, 134, 110